





Simulation & Modélisation

Prof. Adlane SAYEDE UCCS - UMR CNRS 8181 Université d'Artois







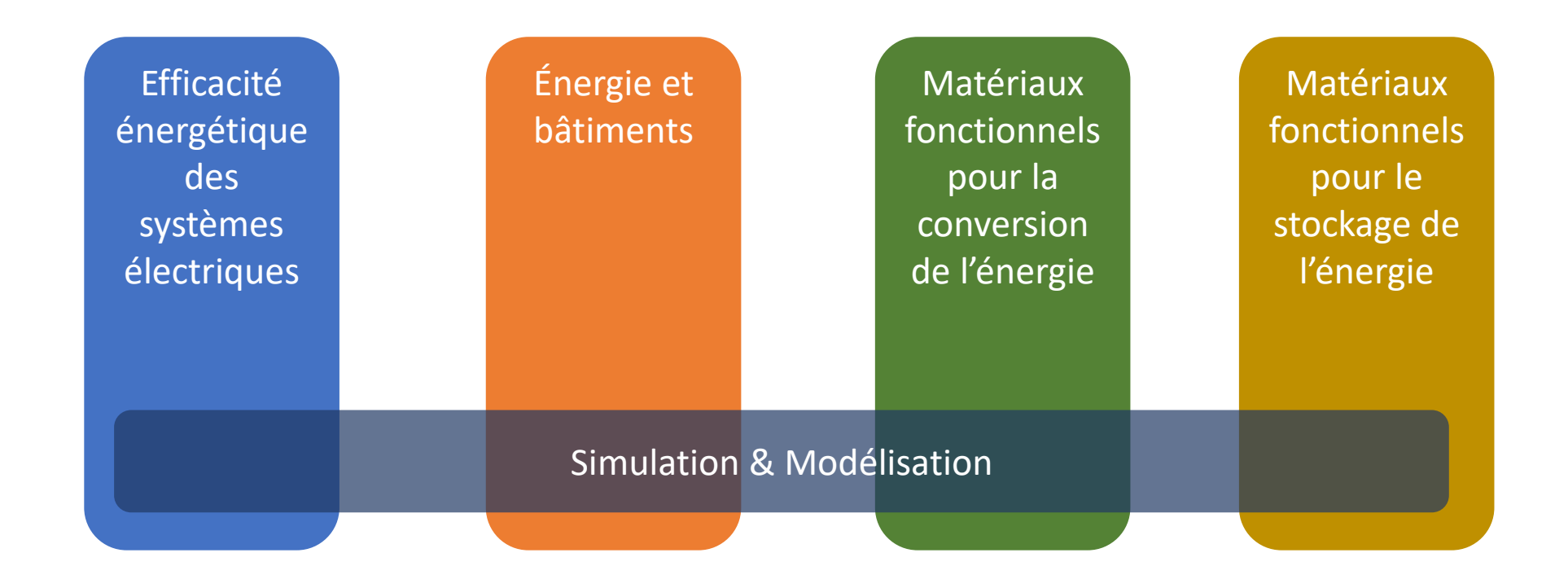








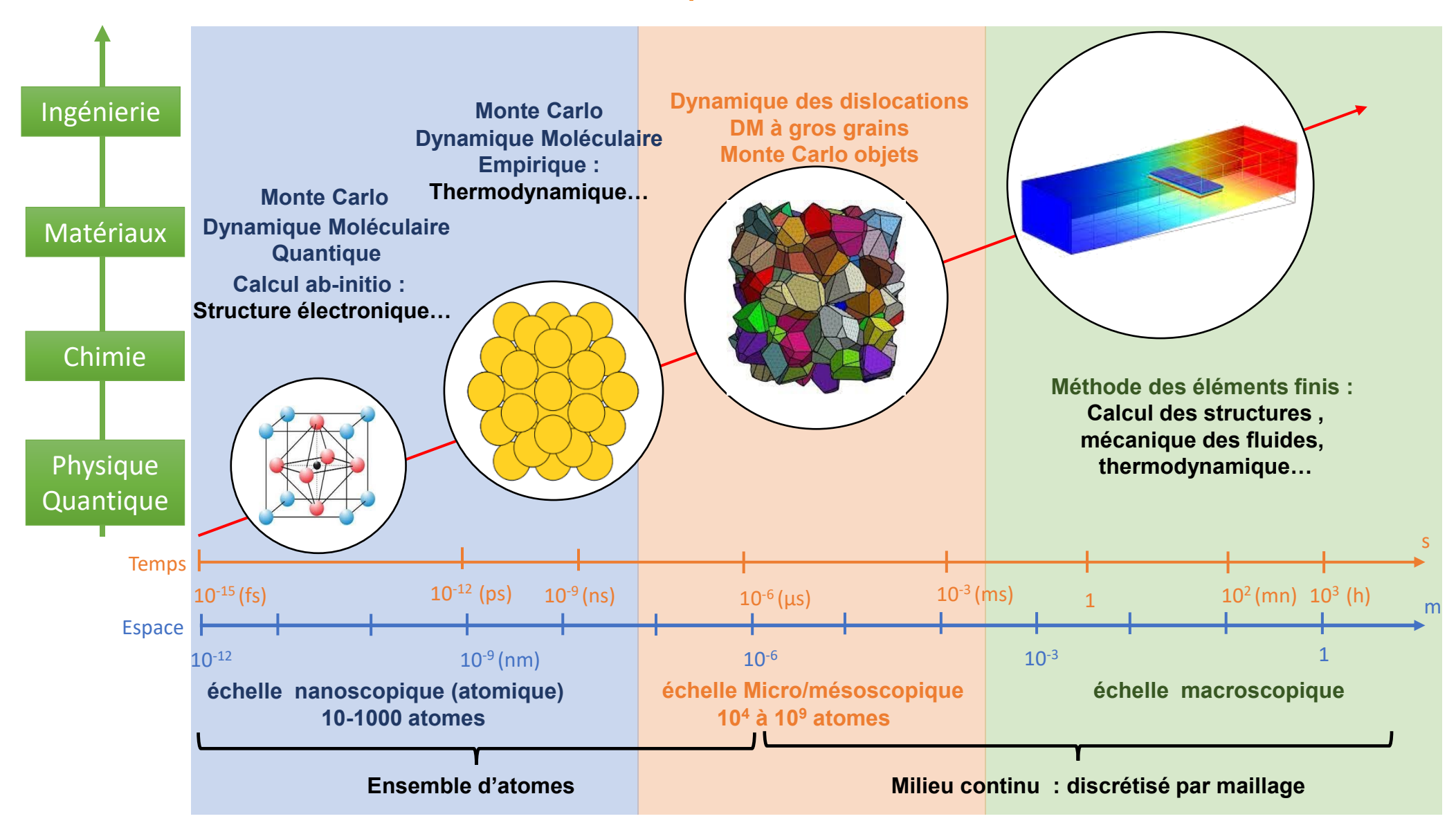
Simulation & Modélisation



- La modélisation consiste à créer une représentation abstraite ou simplifiée d'un système réel à l'aide de modèles mathématiques, graphiques, conceptuels ou informatiques.
- La simulation est le processus d'exécution d'un modèle pour observer comment le système réel se comporte en fonction du modèle.



Échelle des espaces et des temps Techniques de simulation

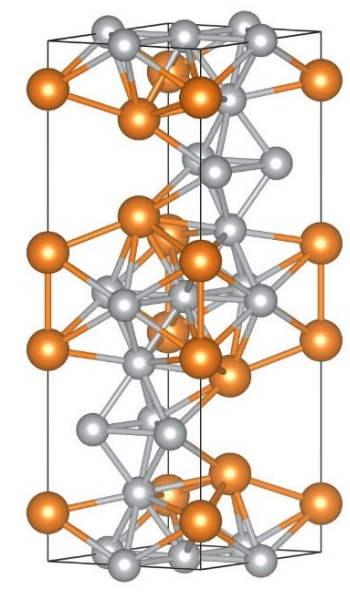




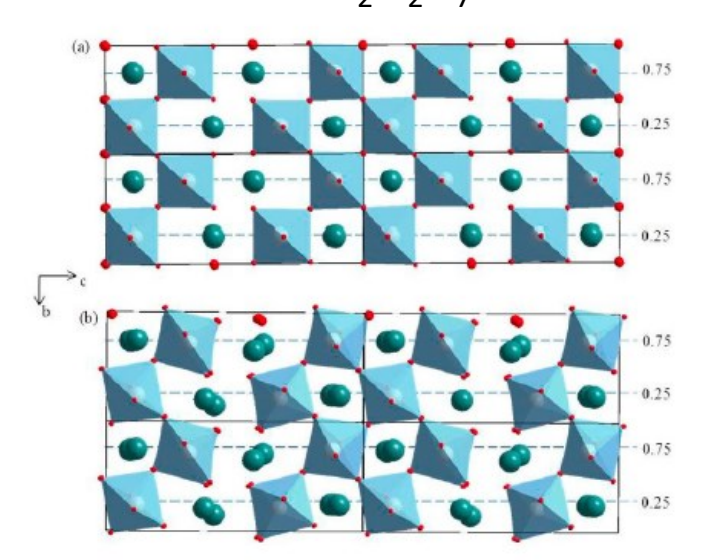
Calcul ab initio

$$H\Psi = \left[-\sum_i^N rac{\hbar^2}{2m}
abla_i^2 - \sum_I^A rac{\hbar^2}{2M}
abla_I^2 - \sum_{i,I} rac{Z_I e^2}{|ec{r}_i - ec{R}_I|} + \sum_{i < j} rac{e^2}{|ec{r}_i - ec{r}_j|} + \sum_{I < J} rac{Z_I Z_J e^2}{|ec{R}_I - ec{R}_J|}
ight] \Psi = E \Psi$$

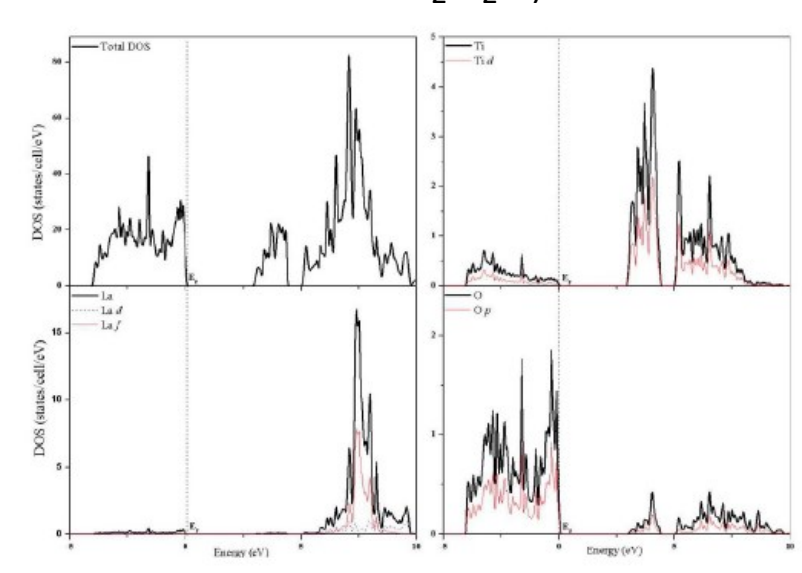
VASP, CRYSTAL, FPLAPW, GAUSSIAN...



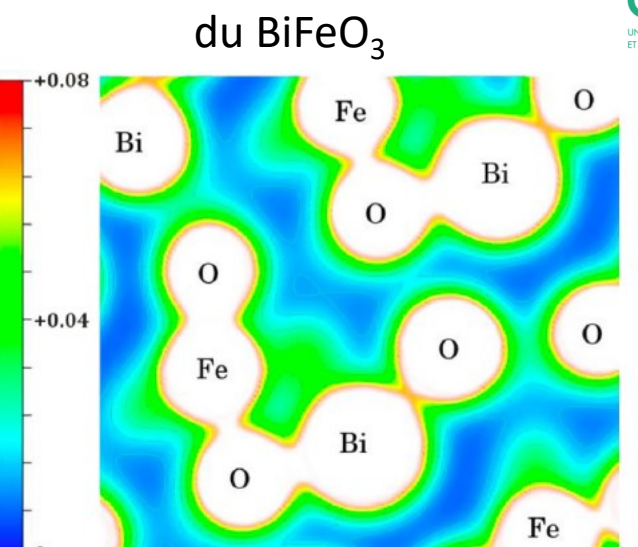
Propriétés ferroélectriques du La₂Ti₂O₇



Propriétés électroniques du La₂Ti₂O₇



Propriétés électroniques du BiFeO₃







Dynamique Moléculaire

On résout donc simultanément, pour tous les atomes i d'un système, les équations classiques du mouvement.

$$\vec{f} = -gra\vec{d}(E_p) = m_i \frac{d^2\vec{r}(t)}{dt^2} = m\ddot{r}(t)$$

$$r(t) \qquad \overrightarrow{f}=m_{i} \frac{d^{2} \overrightarrow{r}(t)}{dt^{2}} = a(t) \qquad r(t+\delta t)$$

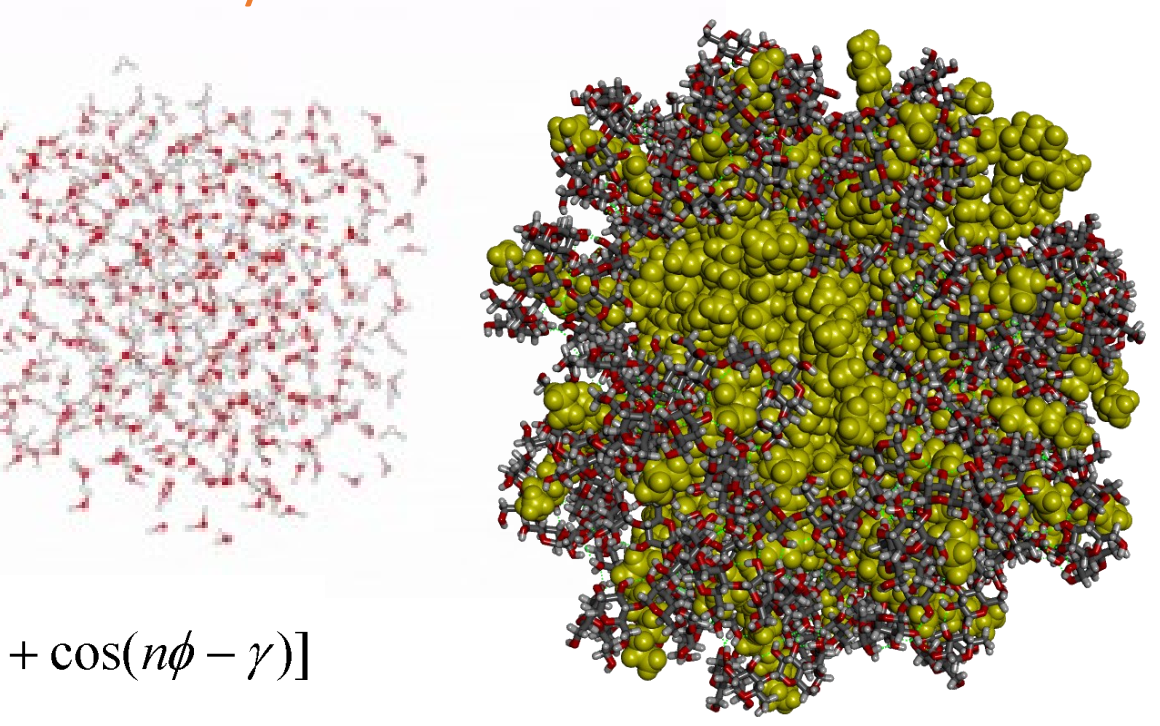
$$v(t) \qquad v(t+\delta t)$$

$$\overrightarrow{r}(t)=a(t)=\frac{dv(t)}{dt}=\overrightarrow{v}(t)$$

$$E_{\text{total}} = \sum_{\text{bond}} k_{\text{r}} \left(r - r_{\text{eq}} \right)^{2} + \sum_{\text{angle}} k_{\theta} \left(\theta - \theta_{\text{eq}} \right)^{2} + \sum_{\text{dihedral}} \frac{v_{n}}{2} [1 + \cos(n\phi - \gamma)]$$

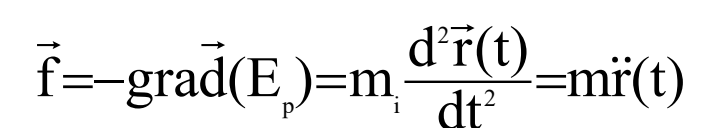
$$+\sum_{\text{nb}} \left[\frac{A_{ij}}{r_{ij}^{12}} - \frac{B_{ij}}{r_{ij}^{6}} \right] + \sum_{\text{nb}} \frac{q_{i}q_{j}}{r_{ij}}$$

Détermination de propriétés thermodynamiques d'un système micellaires.





Dynamique Moléculaire à gros grains.



$$E_{LJ} \; \left(r
ight) = 4arepsilon \; \left[\left(rac{\sigma}{r}
ight)^{12} - \left(rac{\sigma}{r}
ight)^6
ight] \; \; r < r_c$$
 Lennard Jones (LJ)

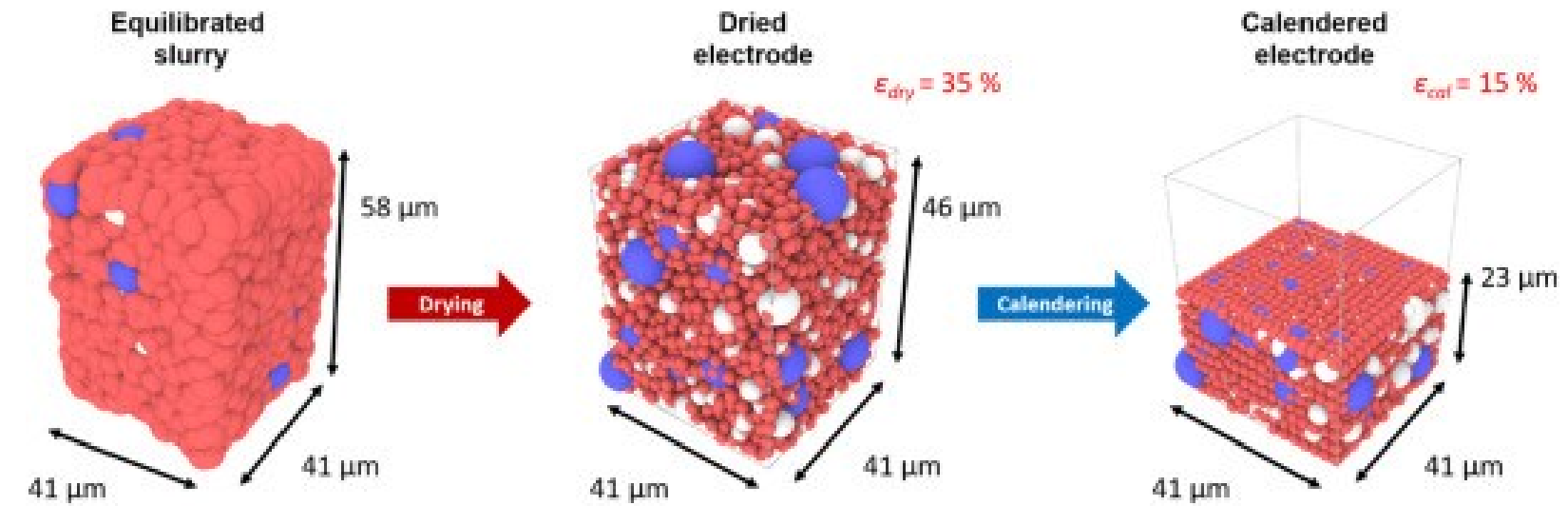


Schéma de modélisation basé sur MDGG pour le processus de fabrication d'une cathode d'une batterie solide.

$$F_{GH} = \sqrt{ heta}\sqrt{rac{R_iR_j}{R_i+R_j}} \,\,\left[\left(k_{
m n} heta n_{ij} - m_{eff}\gamma_{
m n} {
m v_n}
ight) - \left(k_{
m t}\Delta s_{
m t} - m_{eff}\gamma_{
m t} {
m v_t}
ight)
ight]$$

Granular Hertzian (GH)





Dynamique Moléculaire à gros grains.

Exemple de simulations de mélange, de séchage et de calandrage (96 % de NMC - 4 % de CBD, 32,67 % de compression).

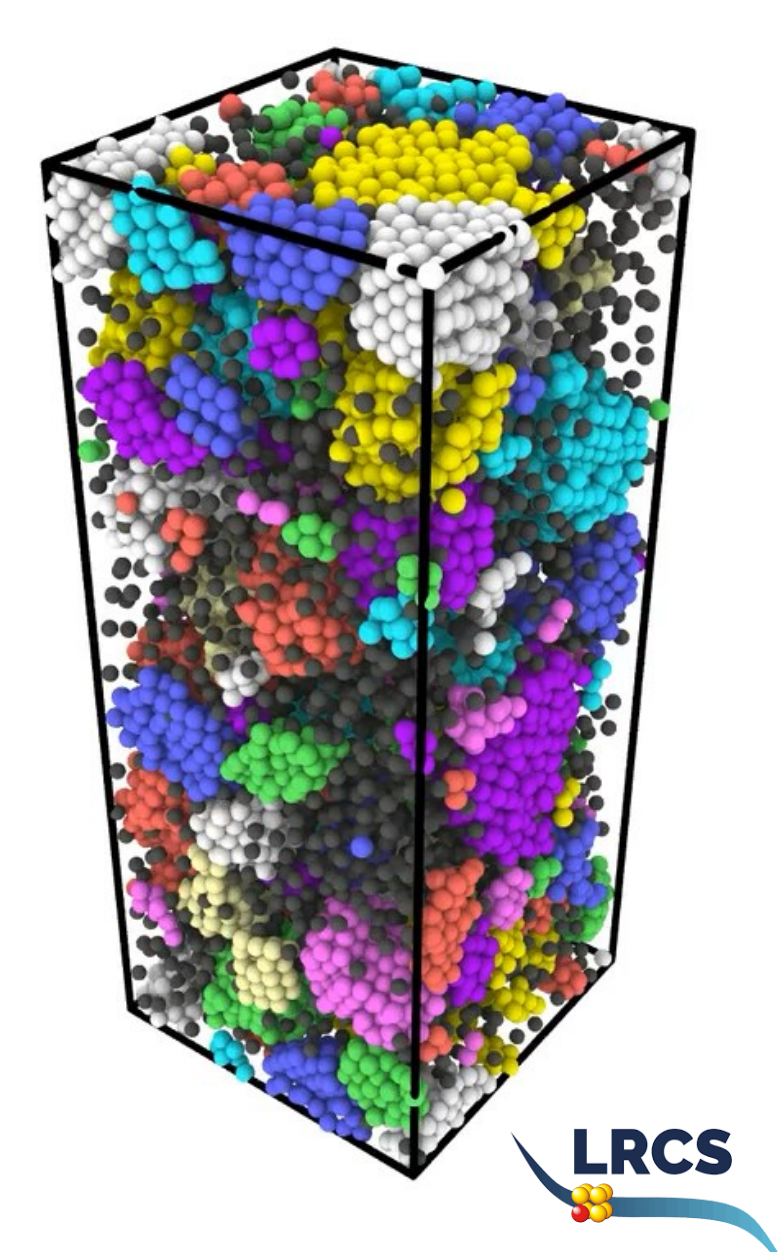
$$\vec{f} = -grad(E_p) = m_i \frac{d^2 \vec{r}(t)}{dt^2} = m\ddot{r}(t)$$

$$E_{LJ} \; \left(r
ight) = 4 arepsilon \; \left[\left(rac{\sigma}{r}
ight)^{12} - \left(rac{\sigma}{r}
ight)^6
ight] \; \; r < r_c$$

Lennard Jones (LJ)

$$F_{GH} = \sqrt{ heta} \sqrt{rac{R_i R_j}{R_i + R_j}} \,\, \left[\left(k_{
m n} heta n_{ij} - m_{eff} \gamma_{
m n} {
m v_n}
ight) - \left(k_{
m t} \Delta s_{
m t} - m_{eff} \gamma_{
m t} {
m v_t}
ight)
ight]$$

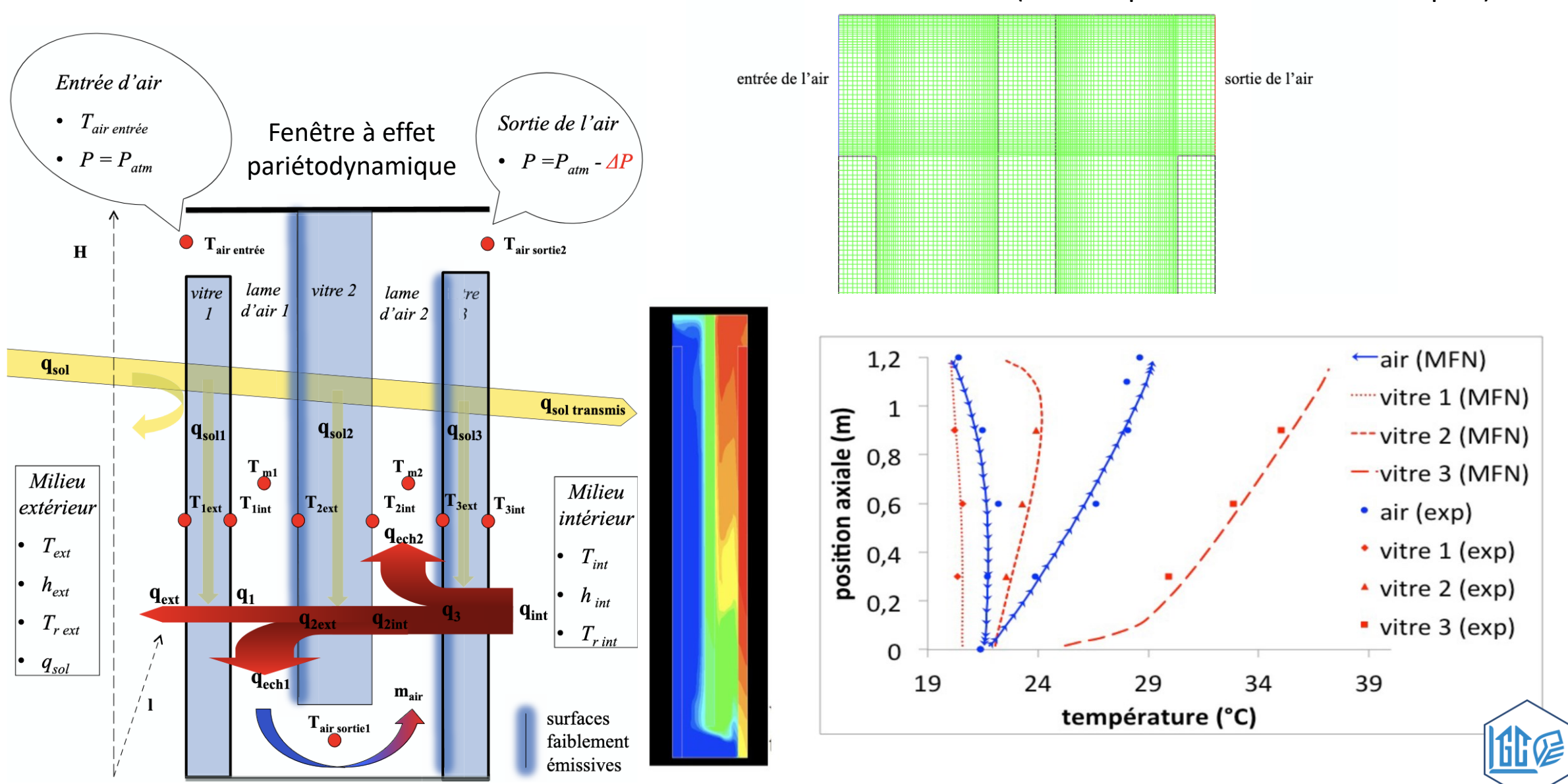
Granular Hertzian (GH)





Étude des transferts thermiques couplés (conduction – convection - rayonnement) et les transferts couplés chaleur / masse.

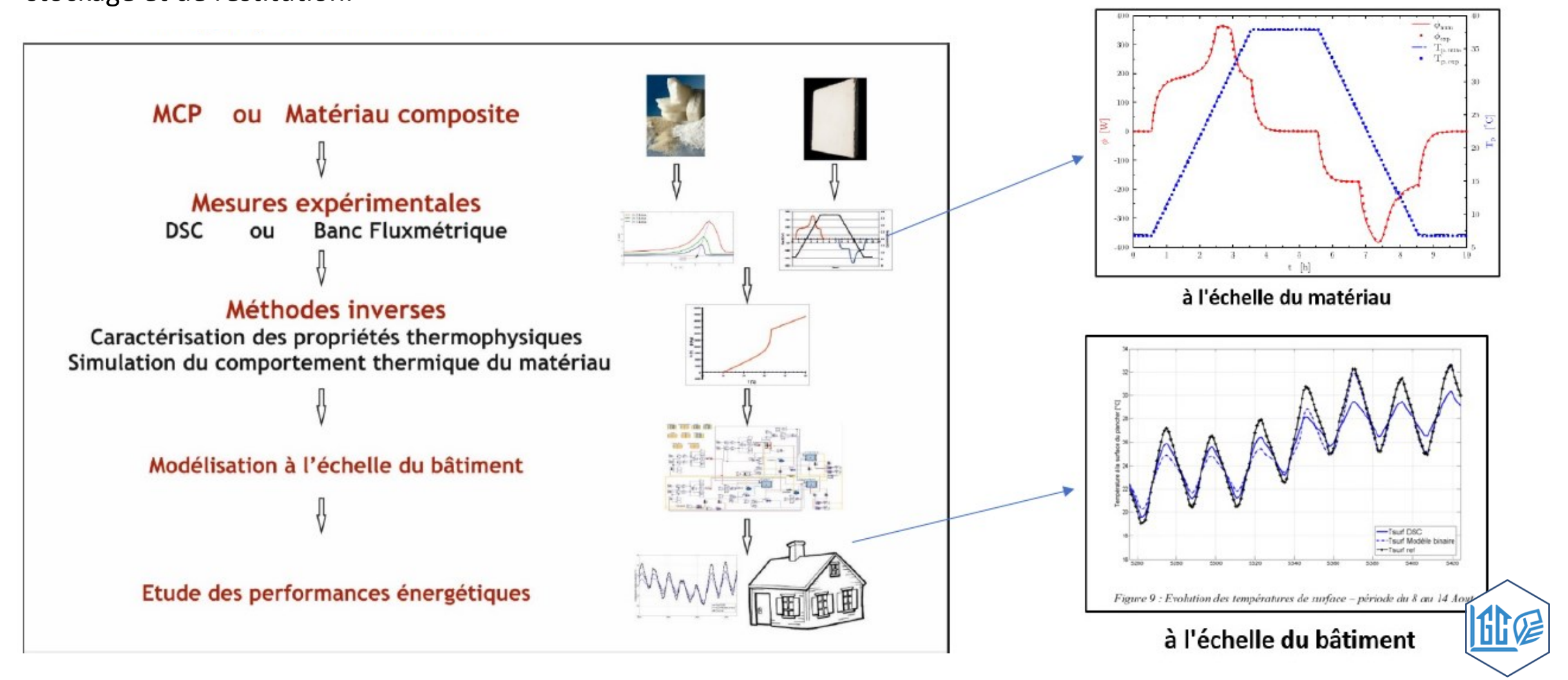
Modèle MFN (Mécanique des Fluides Numériques)





Méthodologie d'étude de l'impact du comportement thermique des composants de parois sur les performances énergétiques des bâtiments

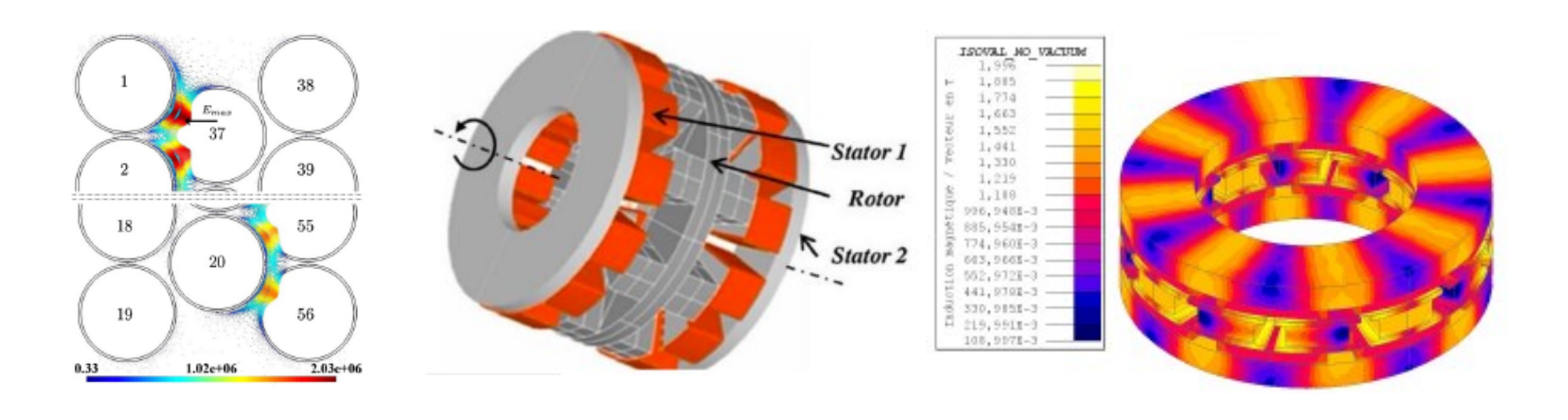
Le but est de caractériser un matériau à changement de phase (MCP) et de simuler son comportement en fonction des sollicitations thermiques imposées afin de quantifier son impact sur l'efficacité énergétique du bâtiment, en termes de stockage et de restitution.





Évaluation des performances des machines tournantes

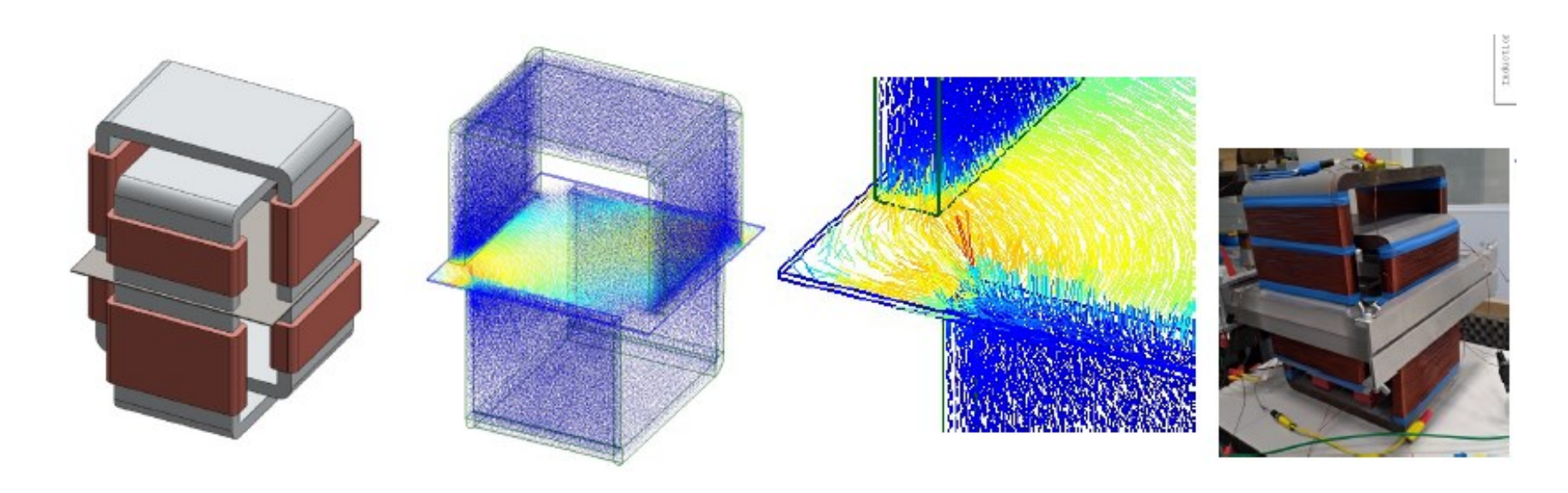
- Rendement / Efficacité Energétique / Densité de puissance
- Aide au dimensionnement multi-physique machines hautes performances





Dimensionnement de maquettes de laboratoire

- Étude de l'homogénéité des champs dans les échantillons sous test
- Choix des meilleurs capteurs pour la maquette réelle

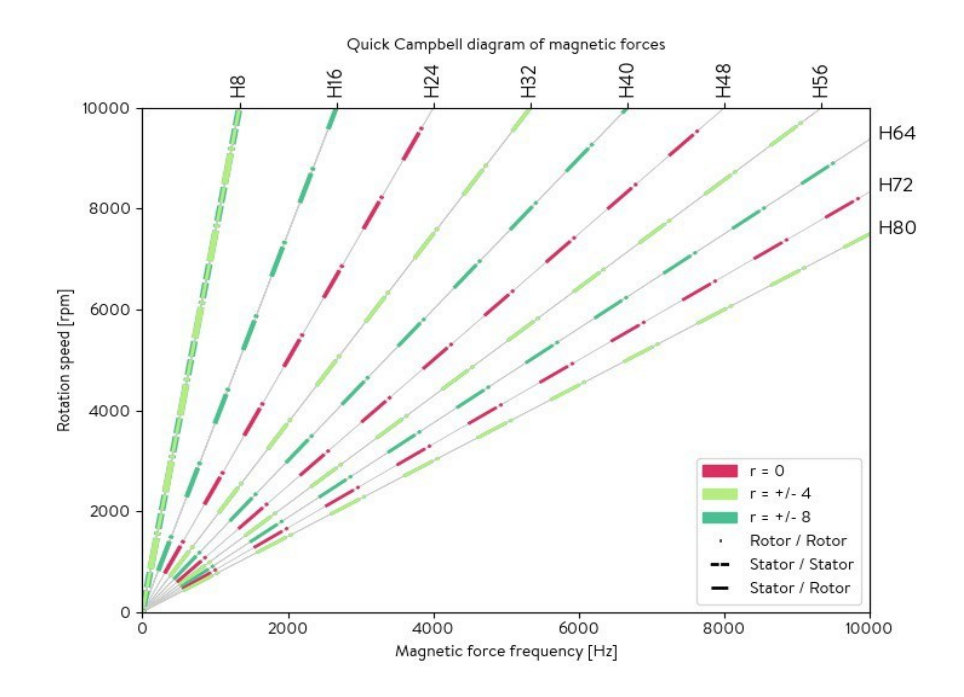




Modélisation en Génie Electrique – Éléments Finis

Méthodes analytiques

• Prédiction et réduction du bruit d'origine magnétique des machines

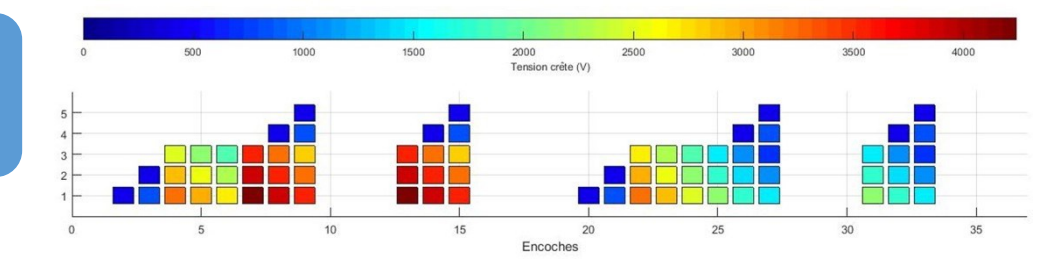




Modélisation en Génie Electrique – Méthodes couplées

Méthodes Stochastiques

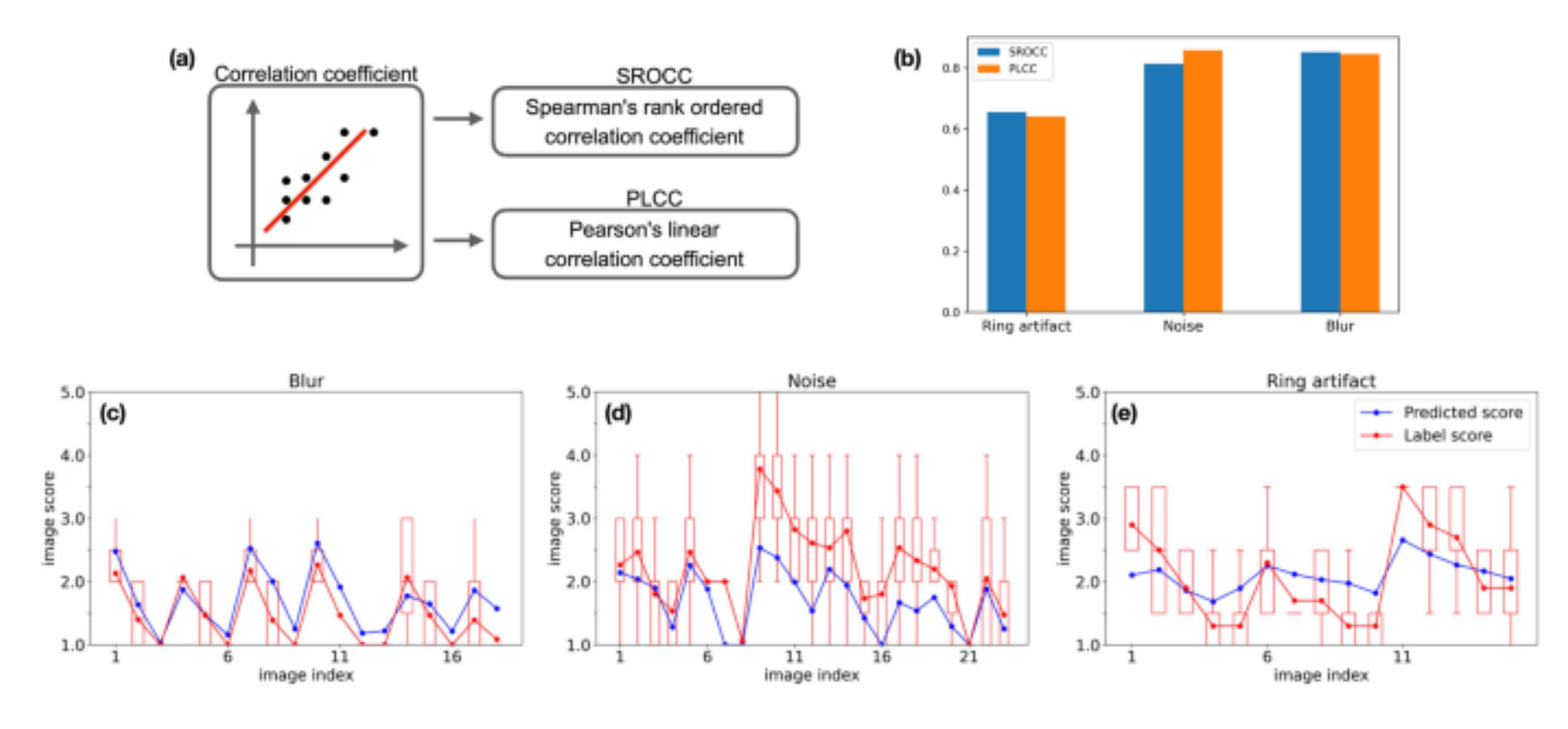
- Prédictions des Seuils d'apparition des phénomènes de dégradation des diélectriques
- Modèles de vieillissement des machines





Apprentissage Automatique (ML)

Utilisation de réseaux de neurones convolutionnels (CNN) pour évaluer la qualité des images tomographiques de rayons X.



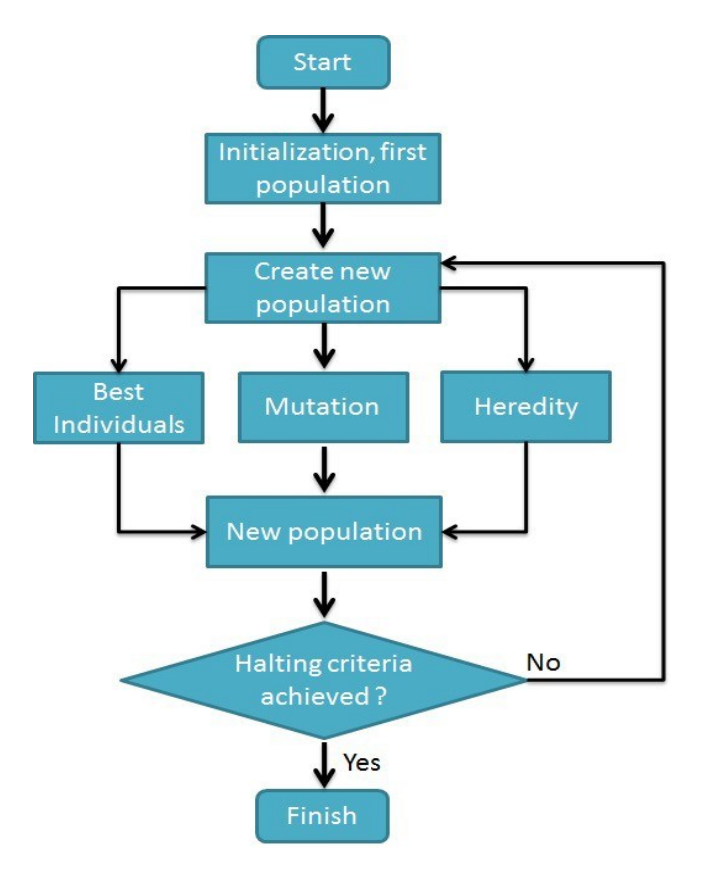


Algorithme évolutionnaire

Espace conformationnel (paysage énergétique) d'une structure cristalline.



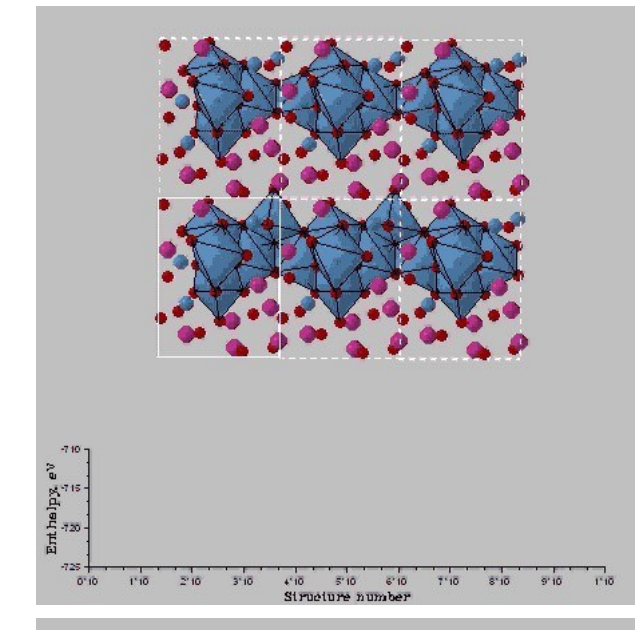
Un nombre de configurations très important!

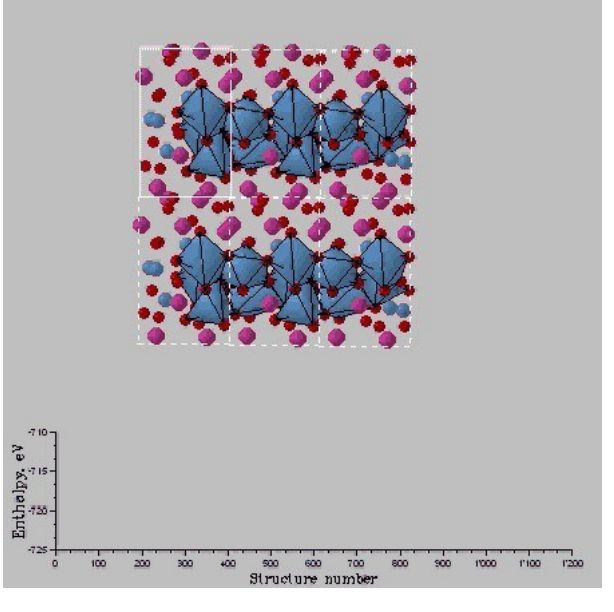


Algorithme évolutionnaire

Classical sampling

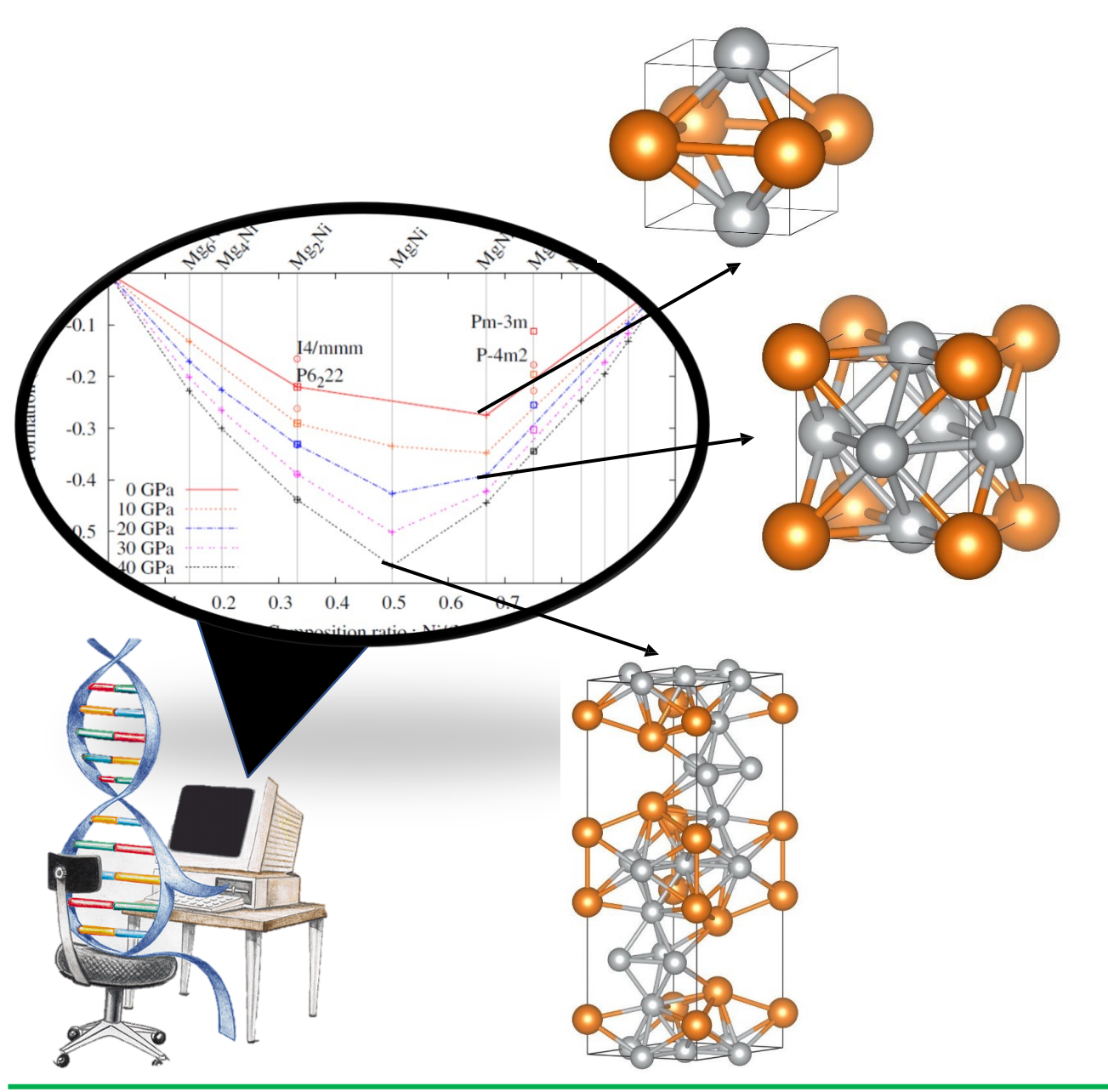
Evolutionary sampling





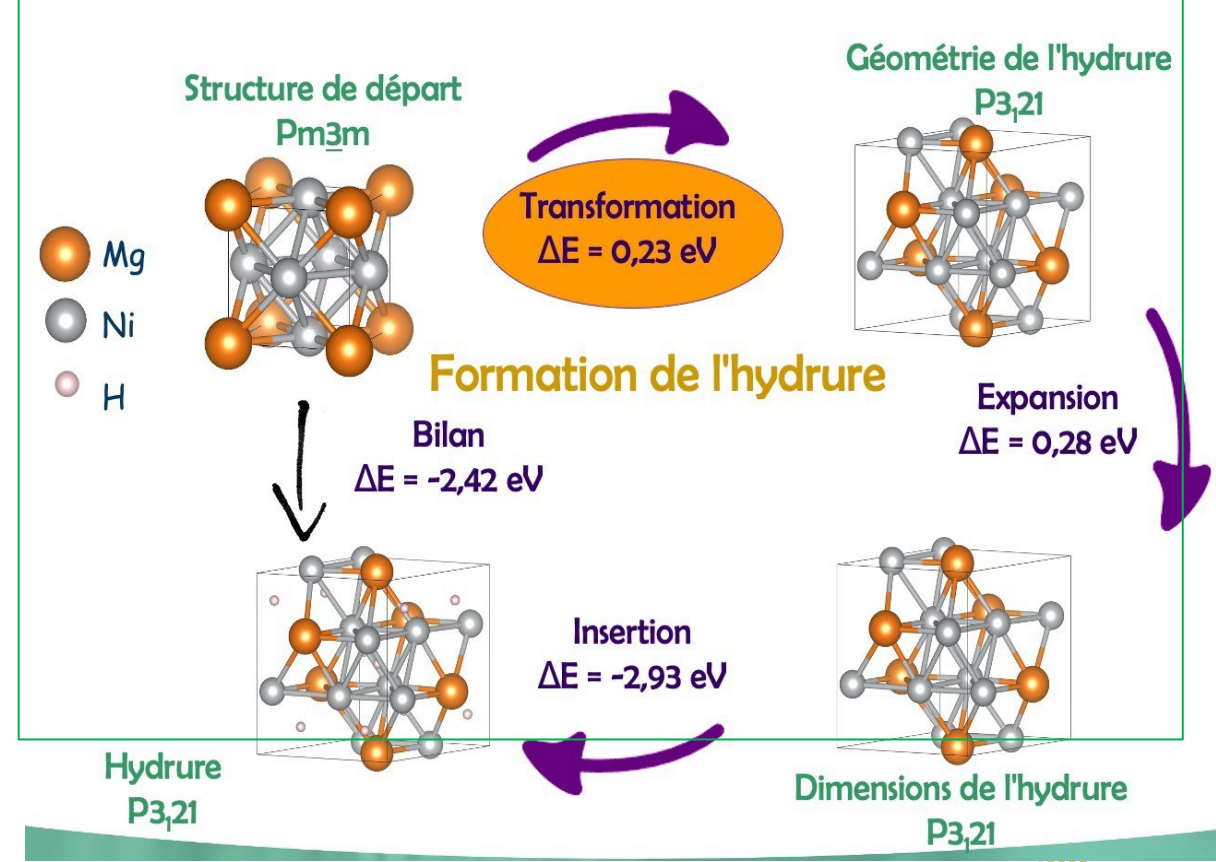


Algorithme évolutionnaire



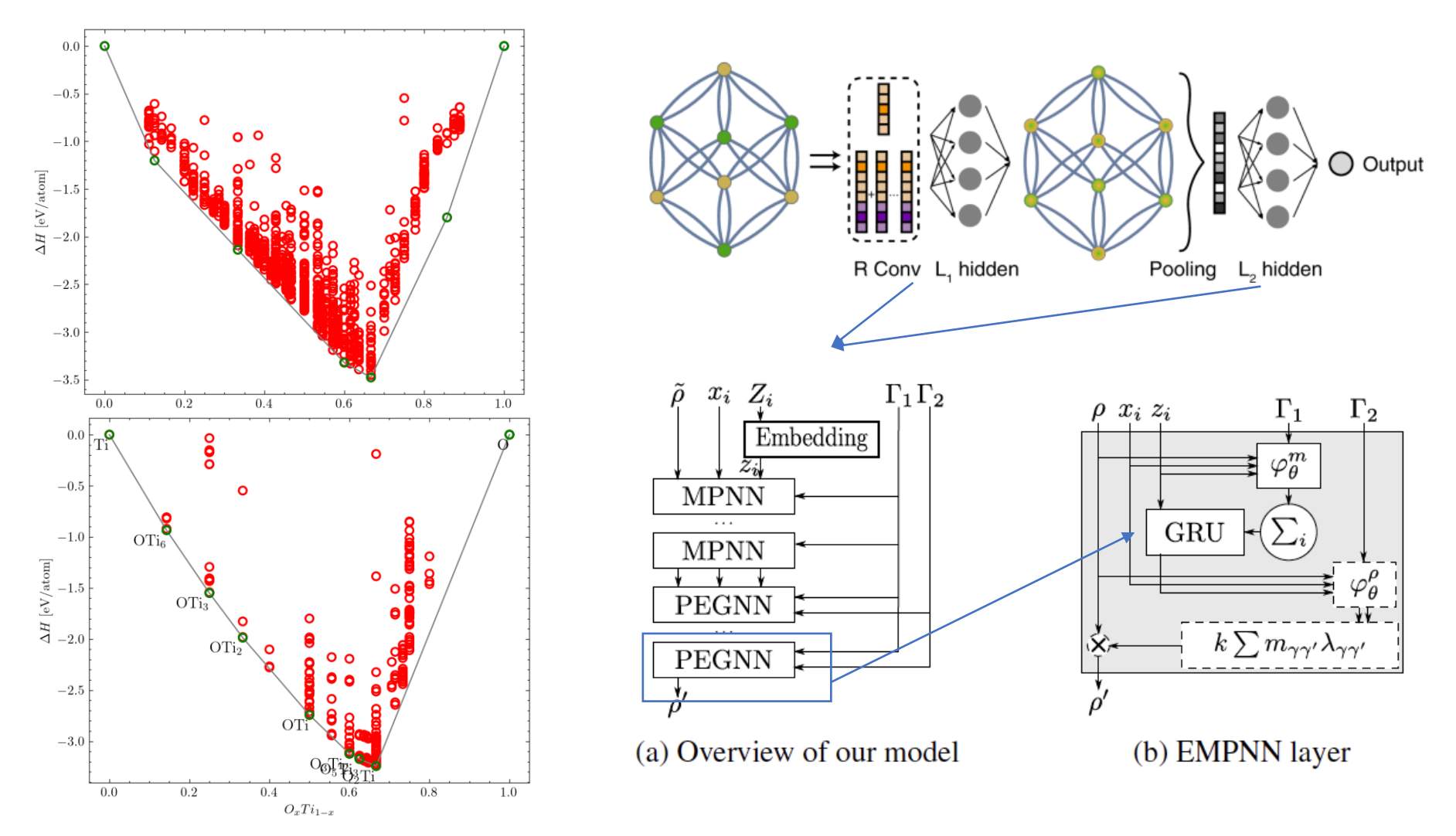
Hydrogénation de MgNi₃

Algorithme évolutionnaire couplé à des calculs DFT (Théorie de la Fonctionnelle





Apprentissage Automatique (ML)



Astrid Klipfel, Olivier Peltre, Najwa Harrati, Yael Fregier, Adlane Sayede, Zied Bouraoui, **Equivariant Message Passing Neural Network for Crystal Material Discovery** in *The 37th AAAI Conference on Artificial Intelligence*, 2023.







Chaire de Professeur Junior (CPJ) IA – Chimie :

- Contrat de 3 ans avant titularisation dans le corps des professeurs des Universités.
- Financement ANR de 200K euros : financement de doctorant, post doc, contractuel IT....
- Rentrée 2024
- Contact : adlane.sayede@univ-artois.fr





UCCS - UMR CNRS 8181 Faculté des Science de Lens Université d'Artois